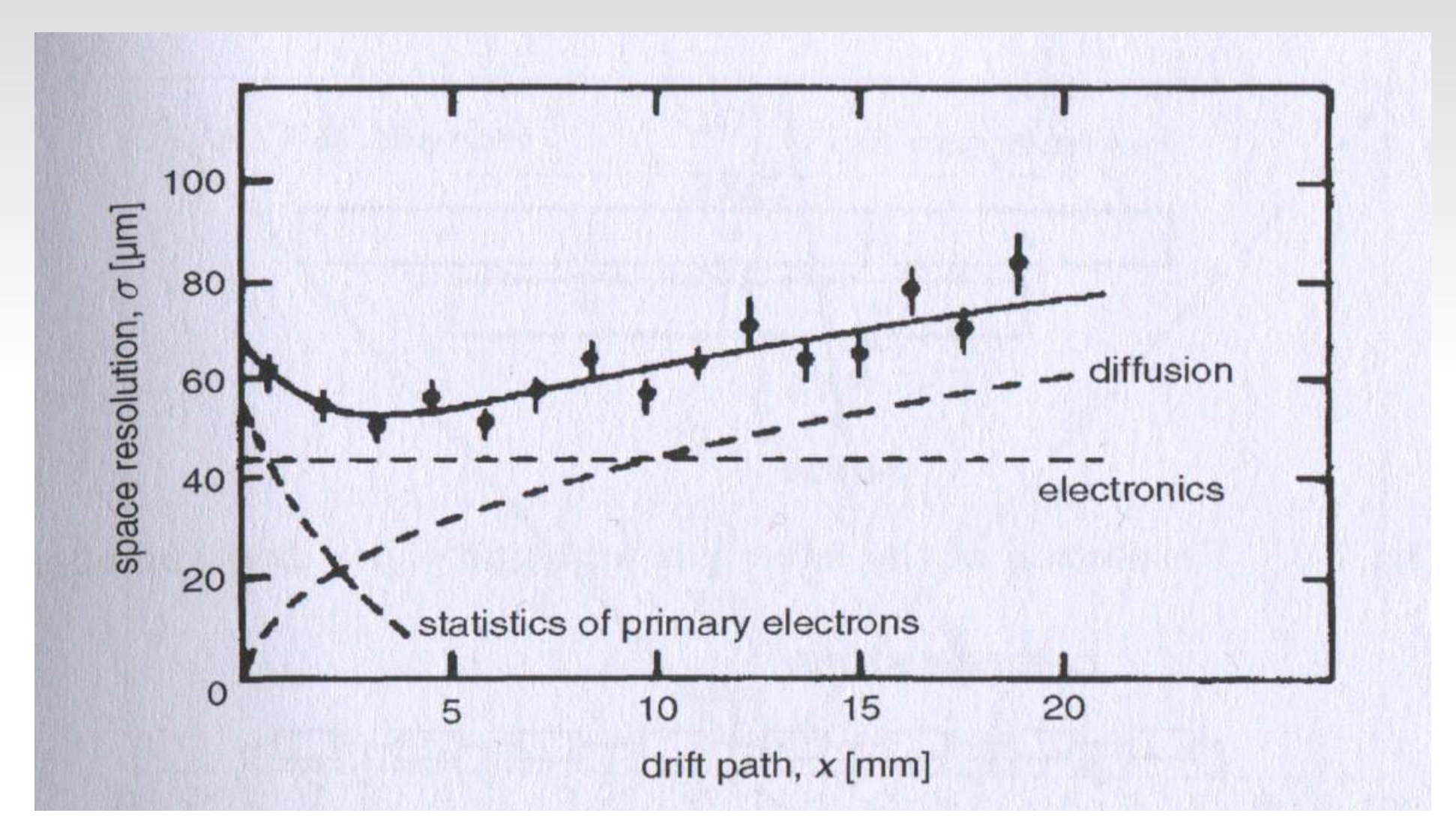
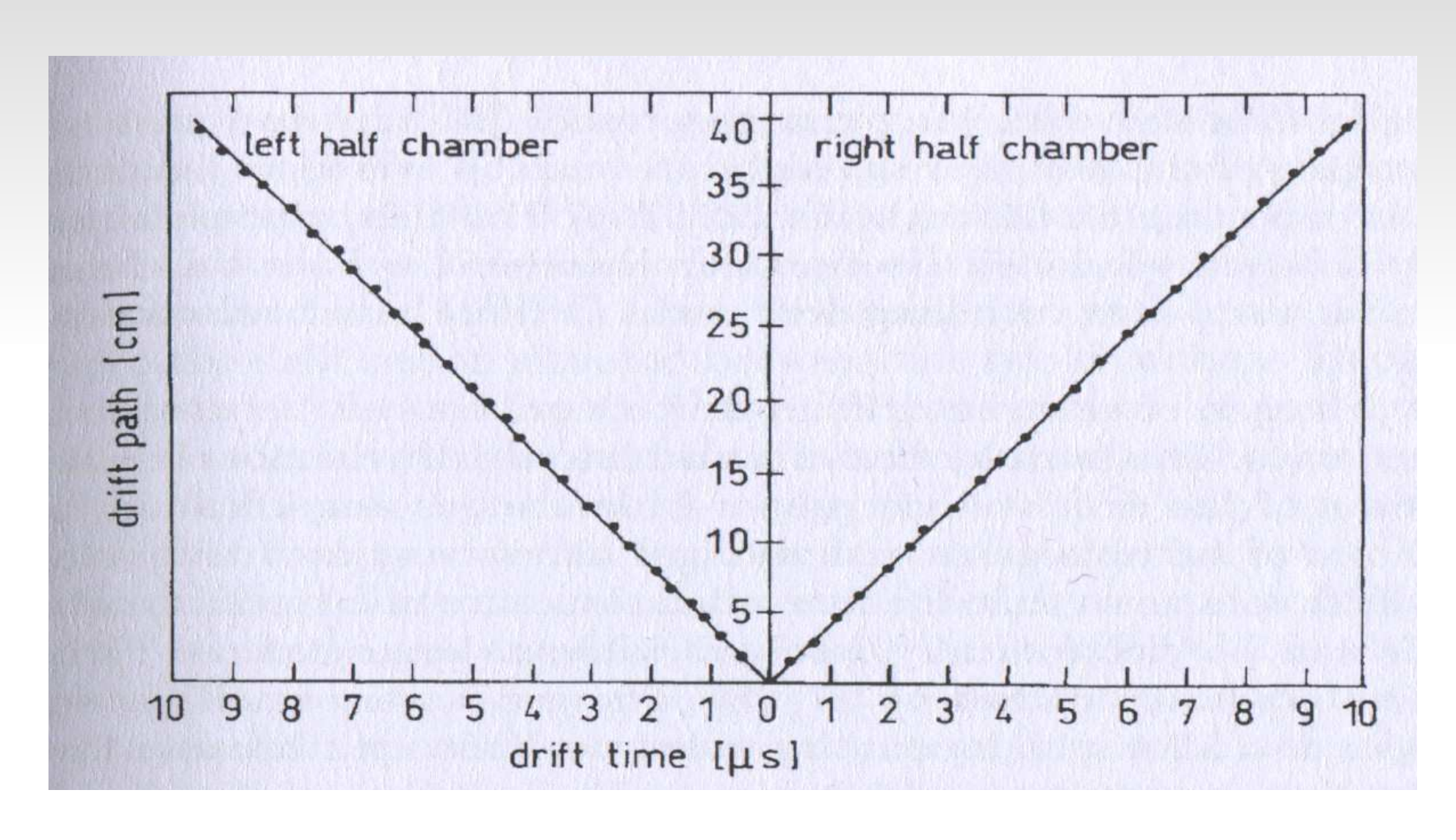
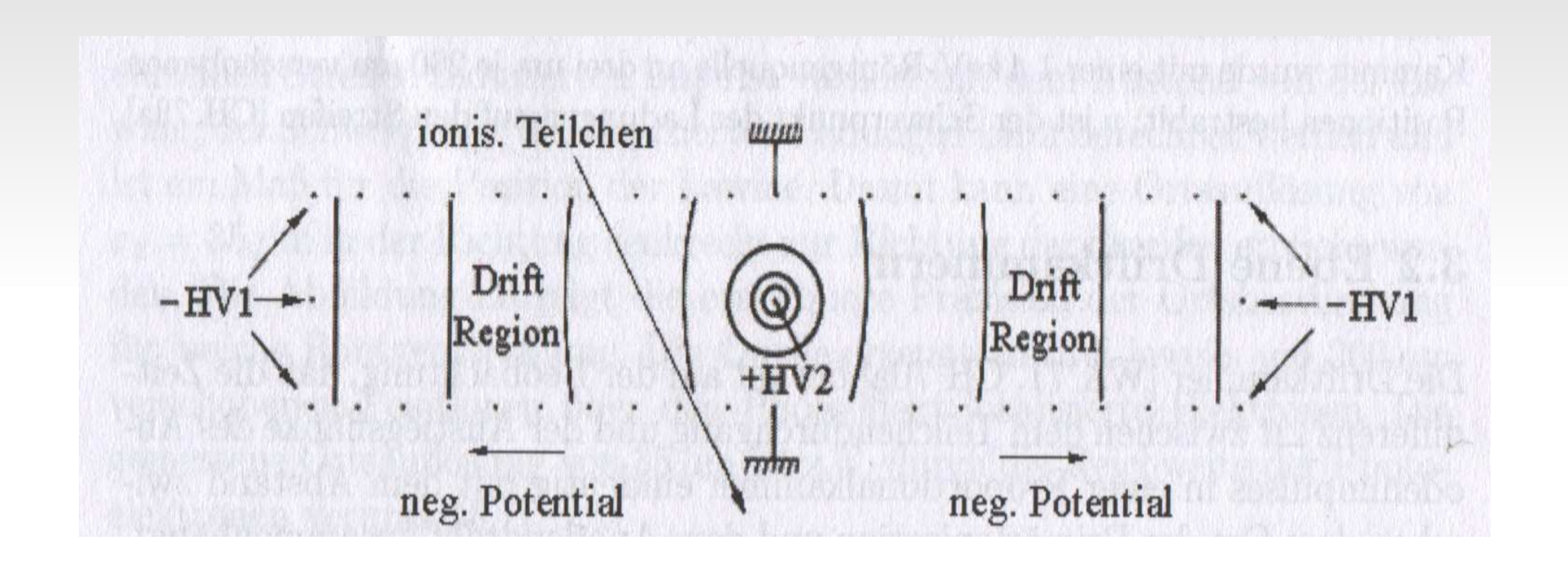
### Fig 4.9 Auflösung einer Driftkammer



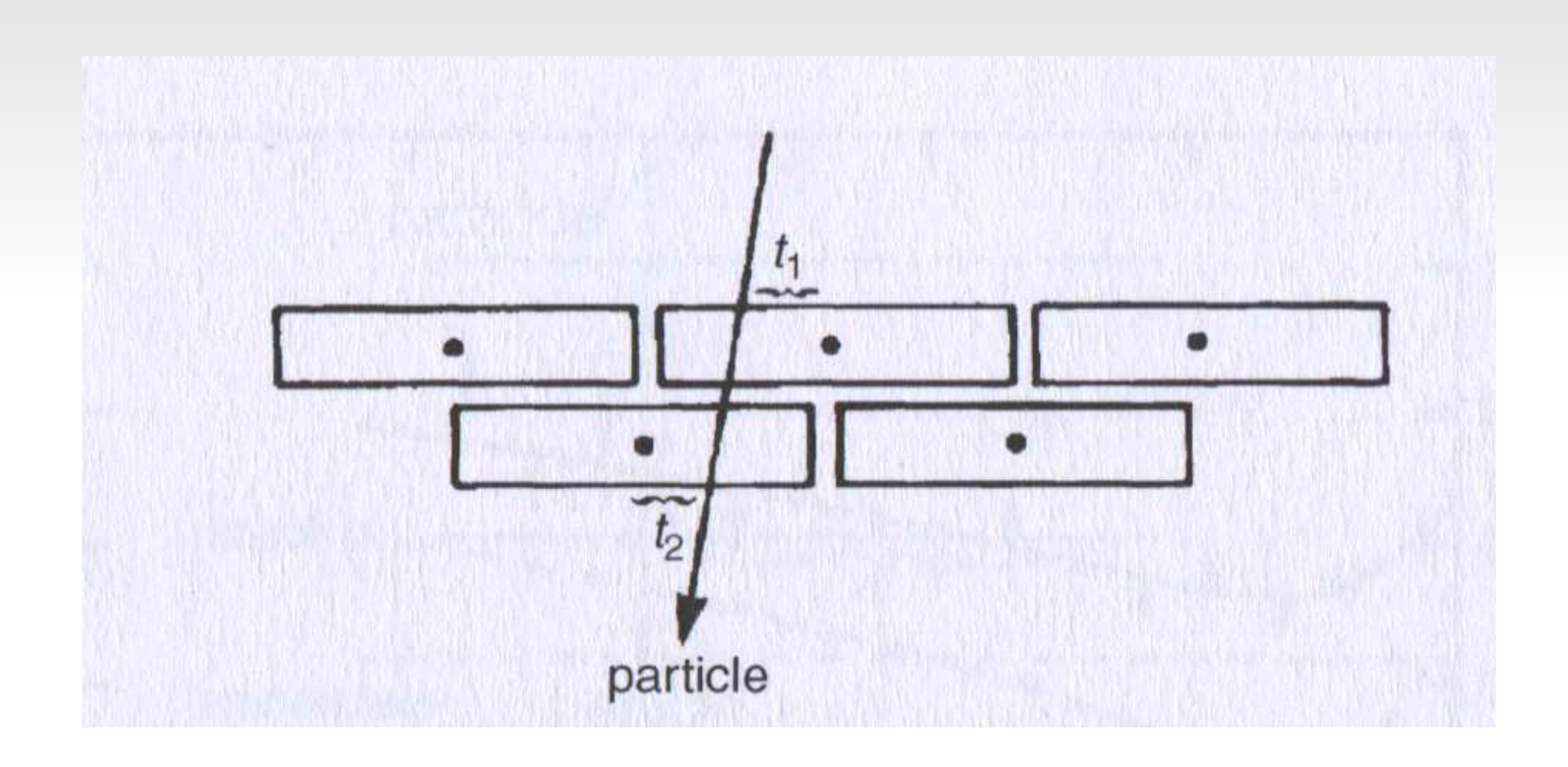
# Fig 4.10 Orts-Driftzeit-Beziehung (Bsp.)



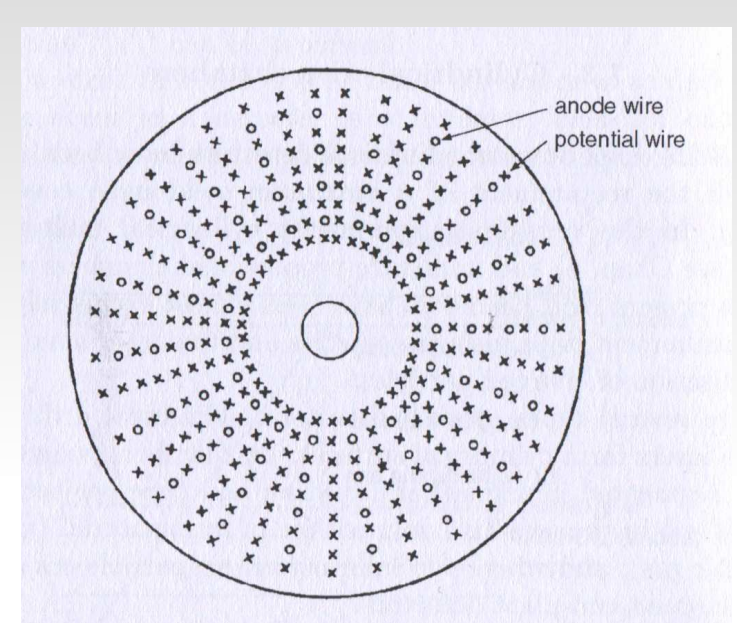
### Fig 4.11 Rechteckige Driftzelle

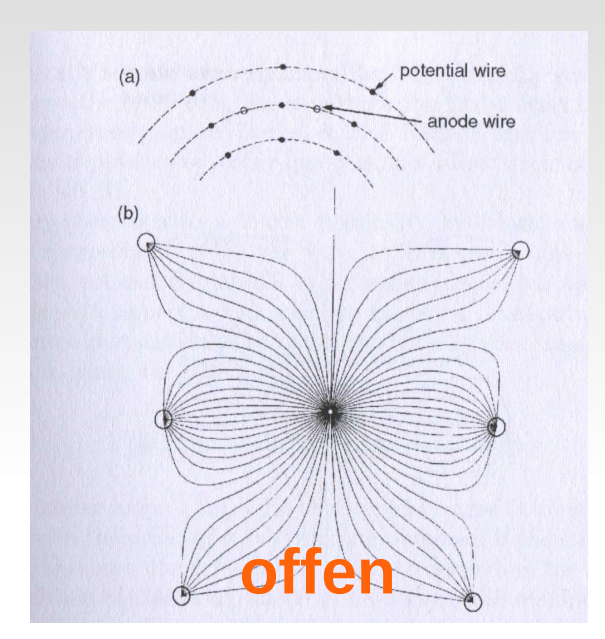


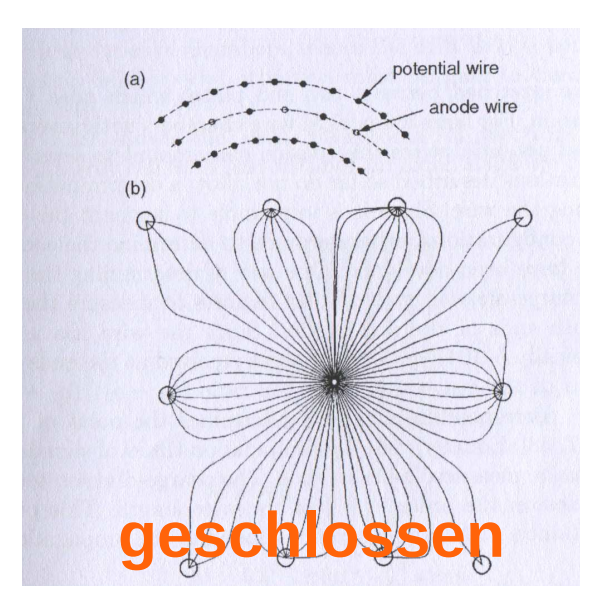
## Fig 4.12 Staggering (zur Auflösung der L/R-Ambiguität)

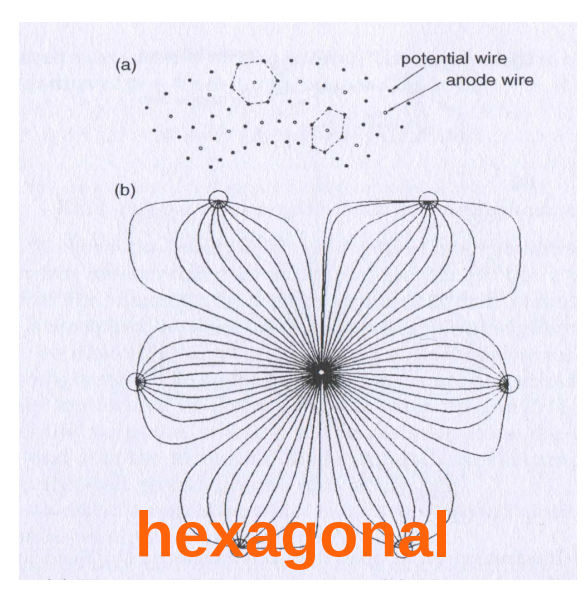


# Fig 4.13 Zylindrische Driftkammer (schematisch)

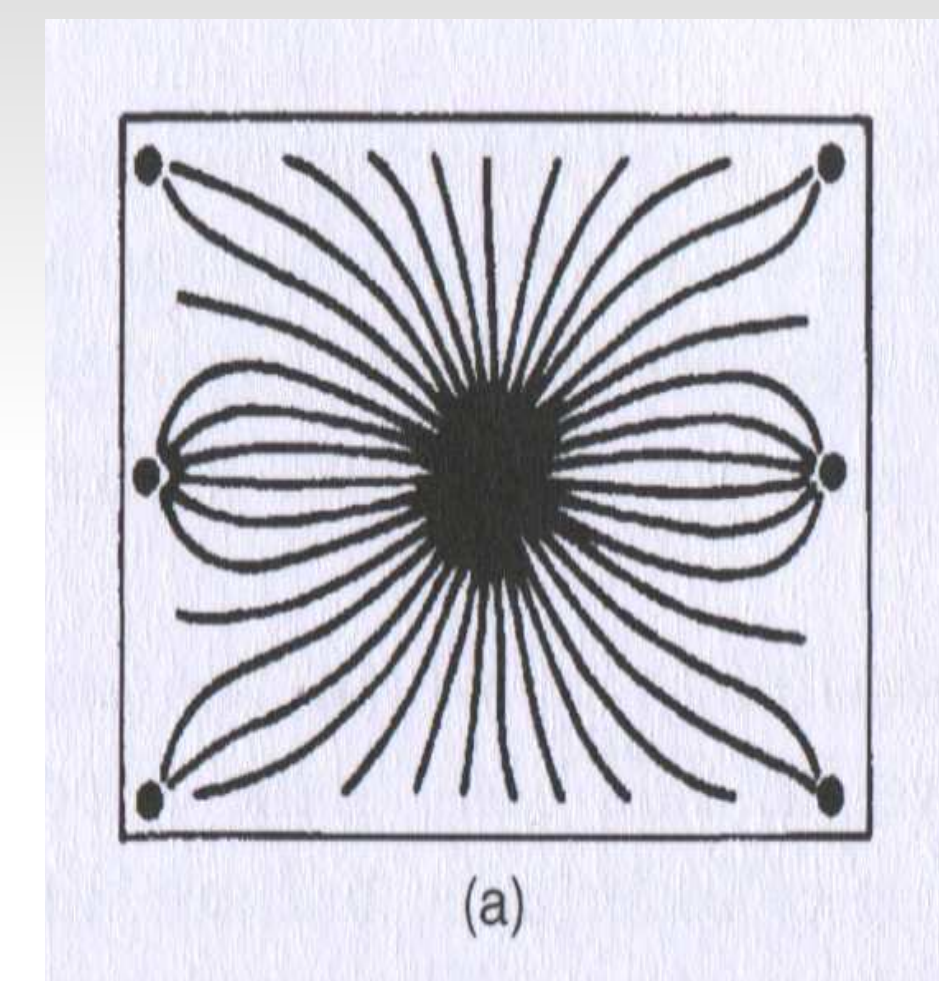


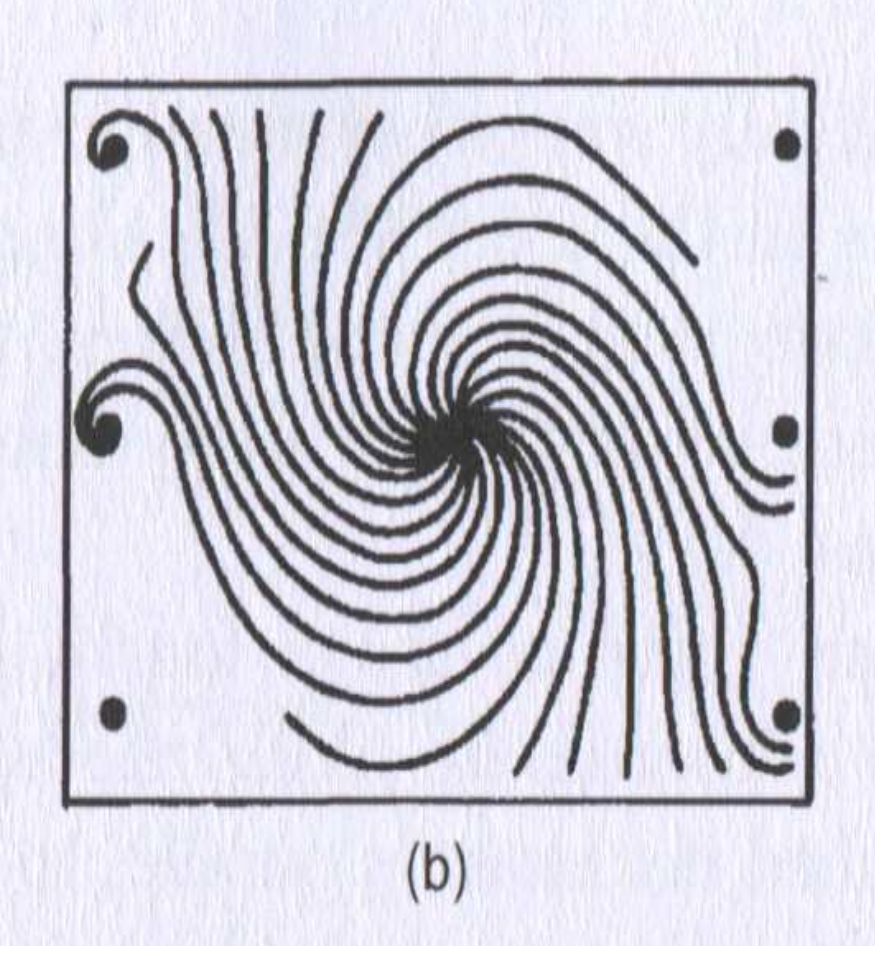






# Fig 4.14 Drift mit und ohne Magnetfeld

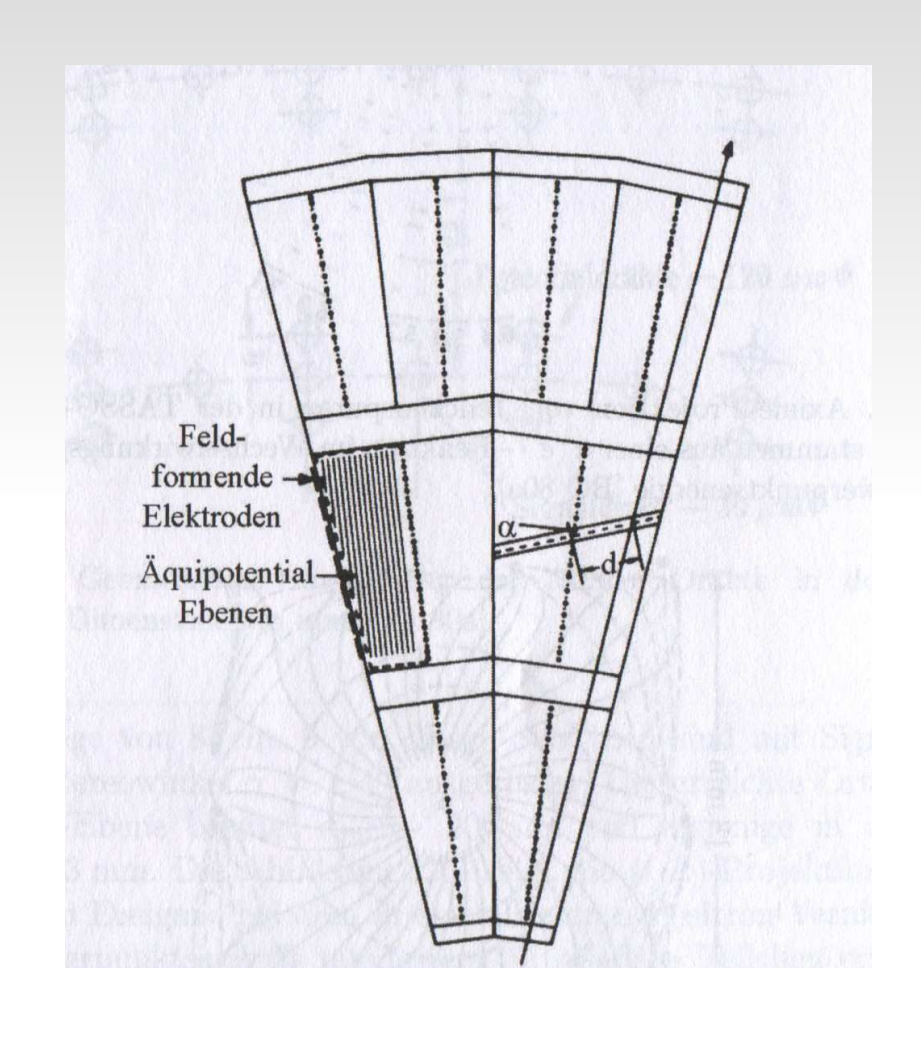


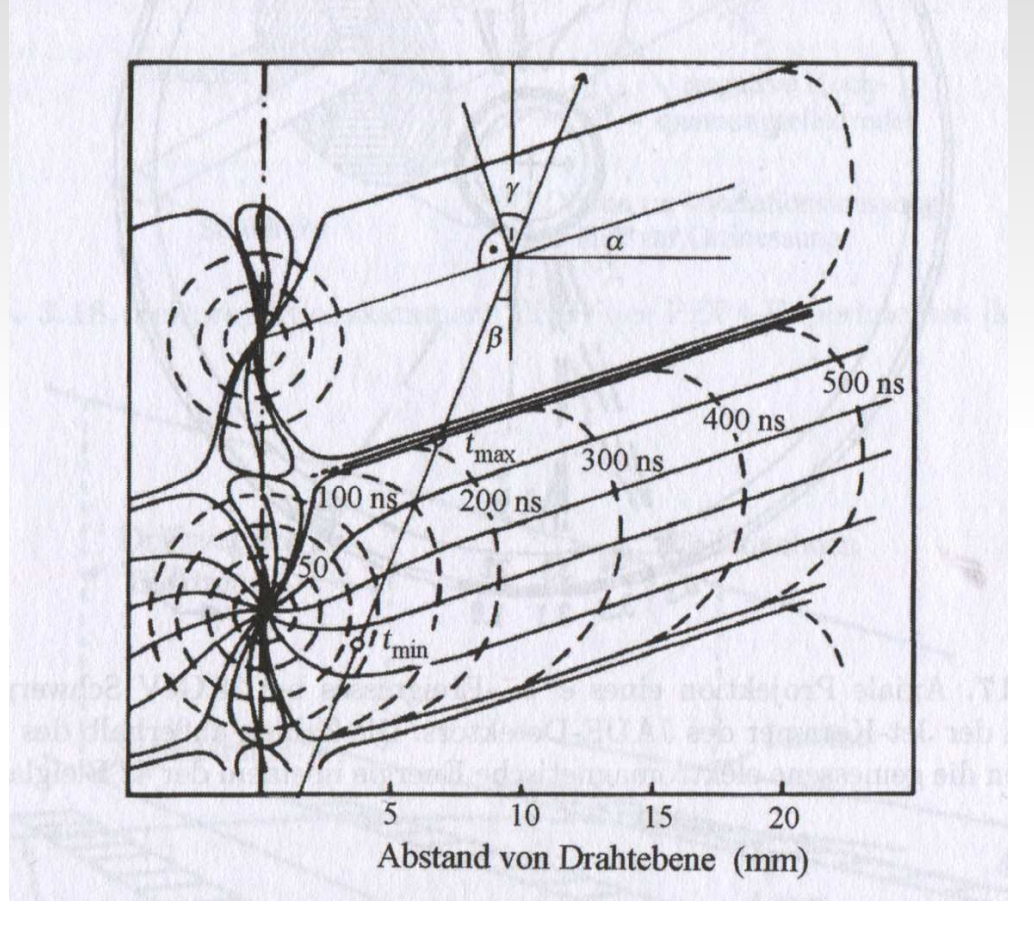




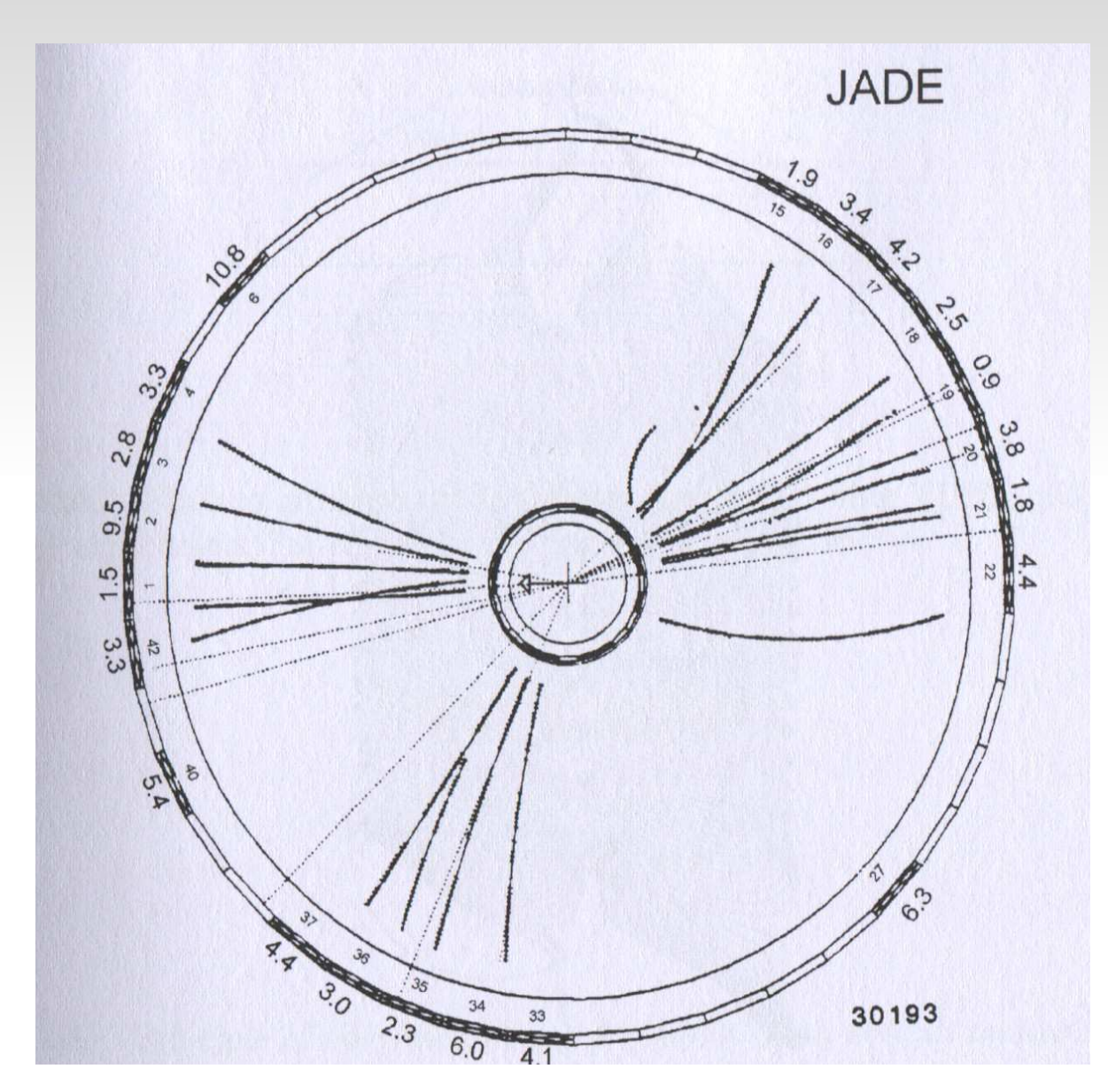


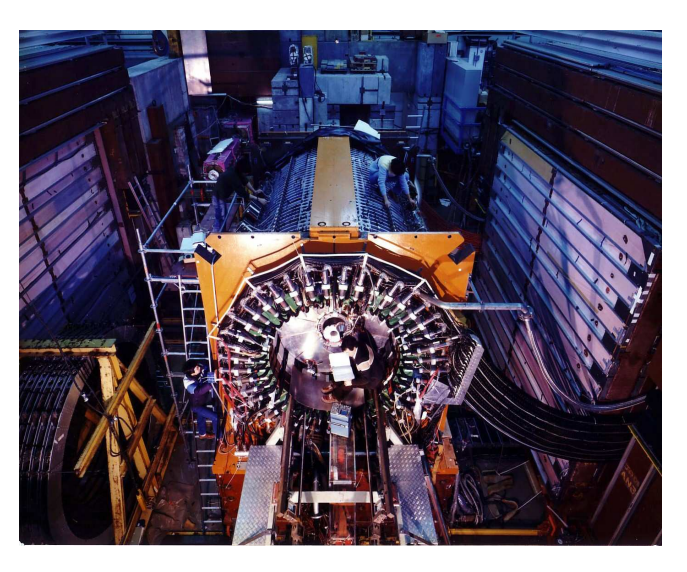
### Fig 4.15 JADE-Jetkammer



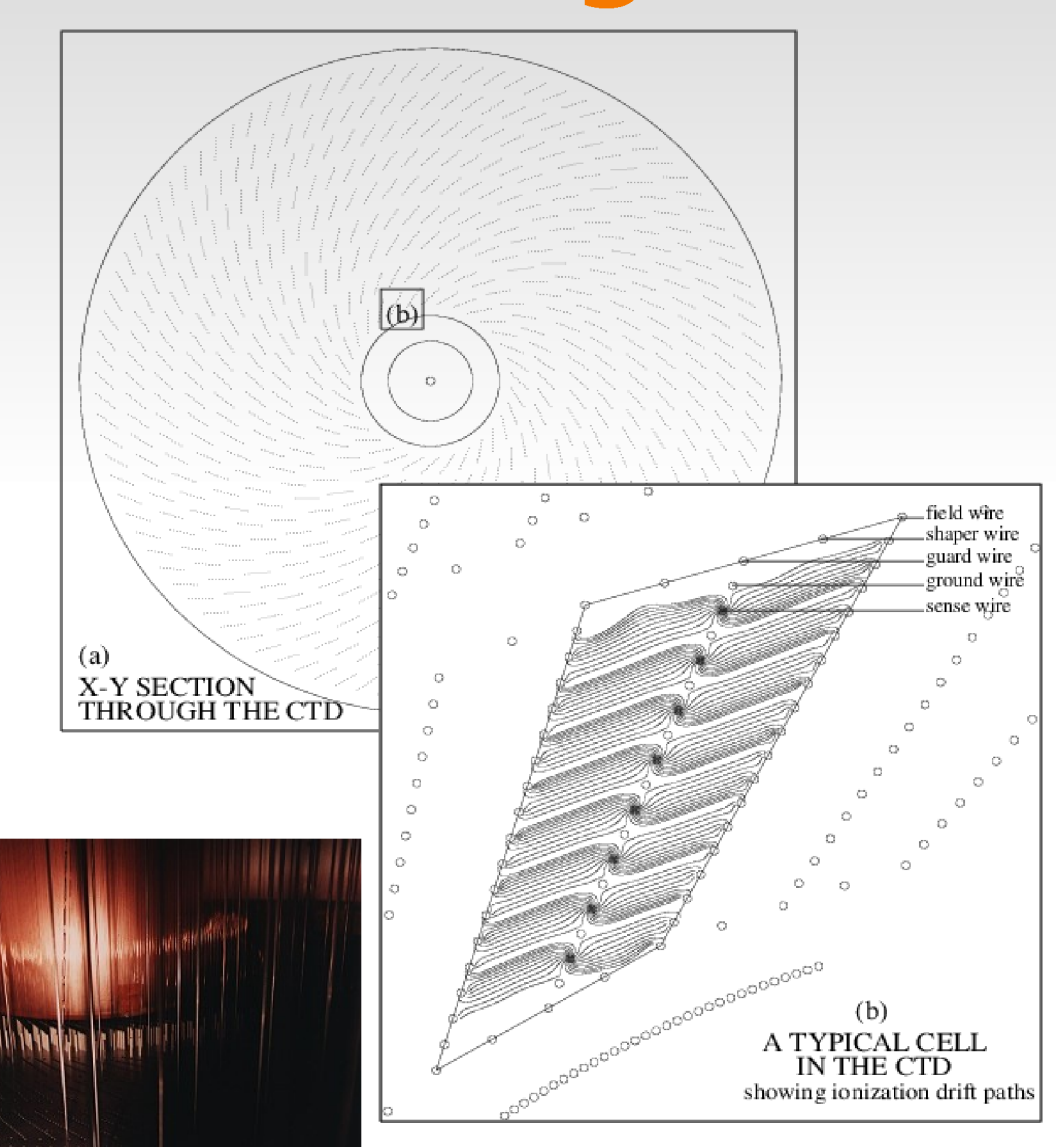


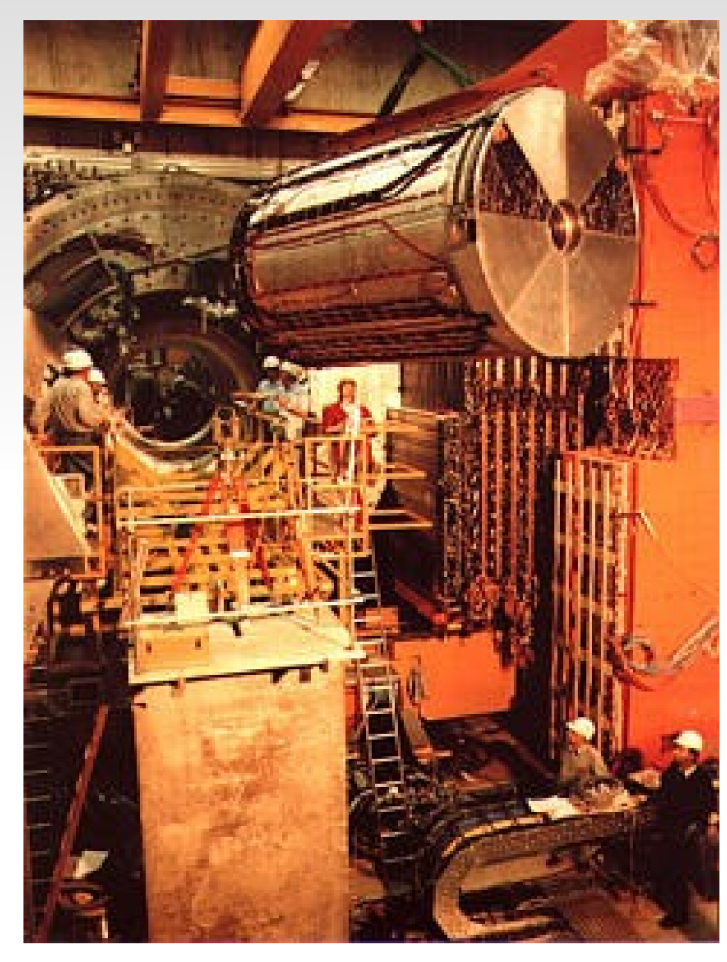
### Fig 4.16 JADE: 3-Jet-Ereignis



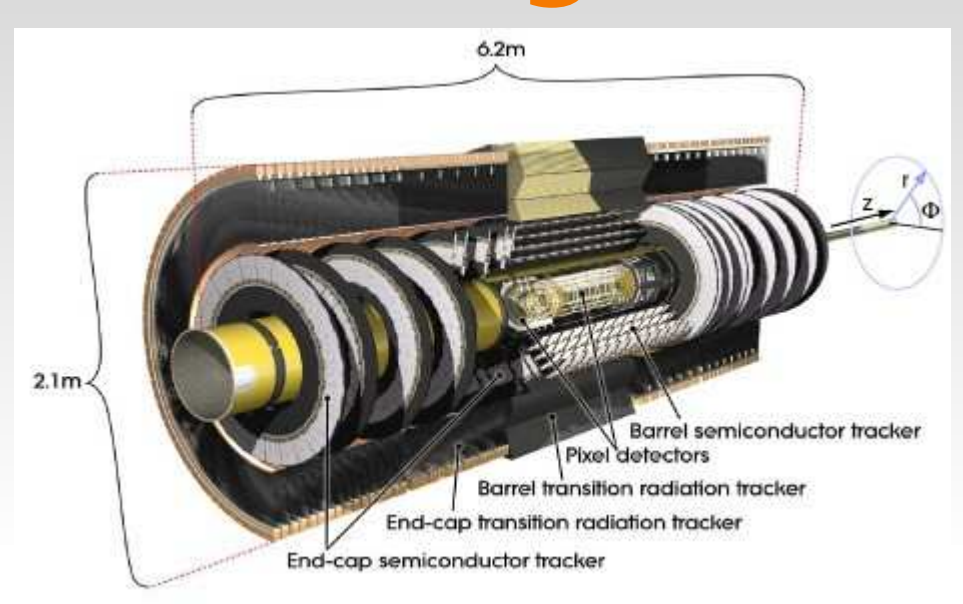


# Fig 4.17 ZEUS Central Tracking Device (CTD)

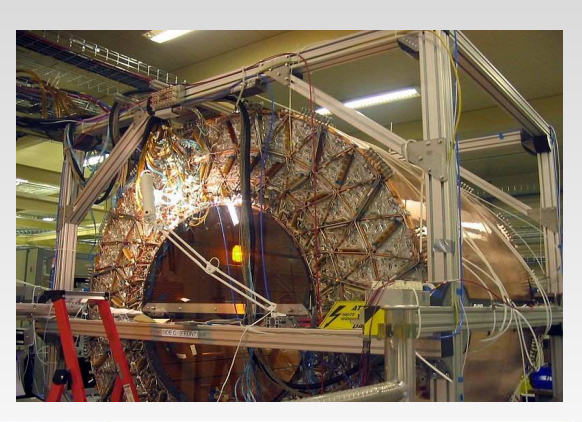


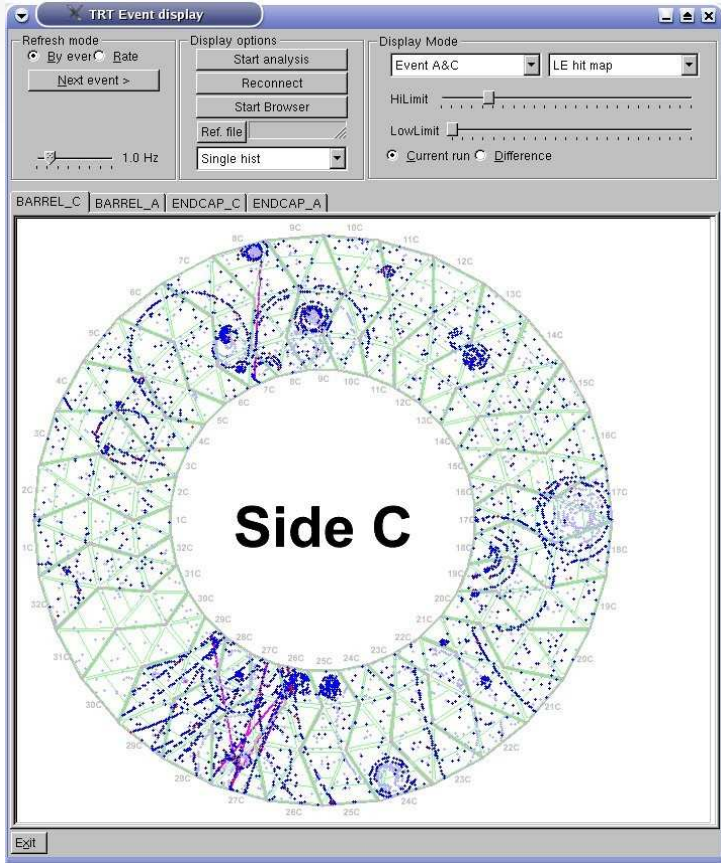


### Fig 4.18 ATLAS TRT

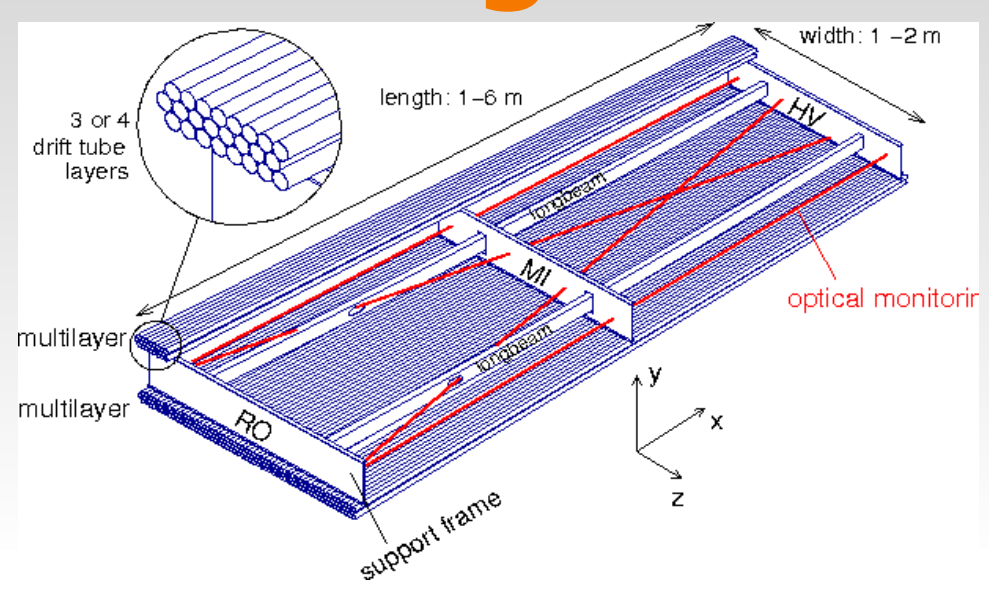


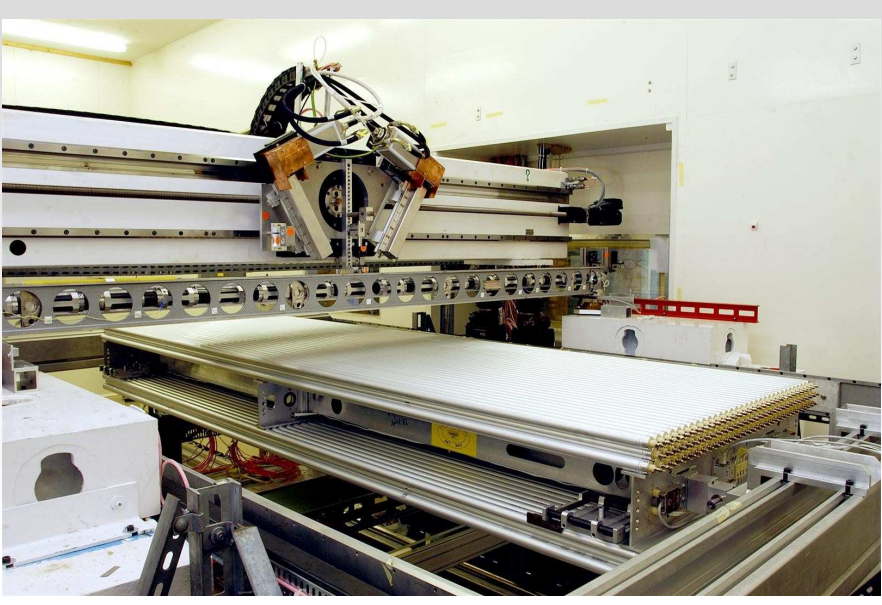


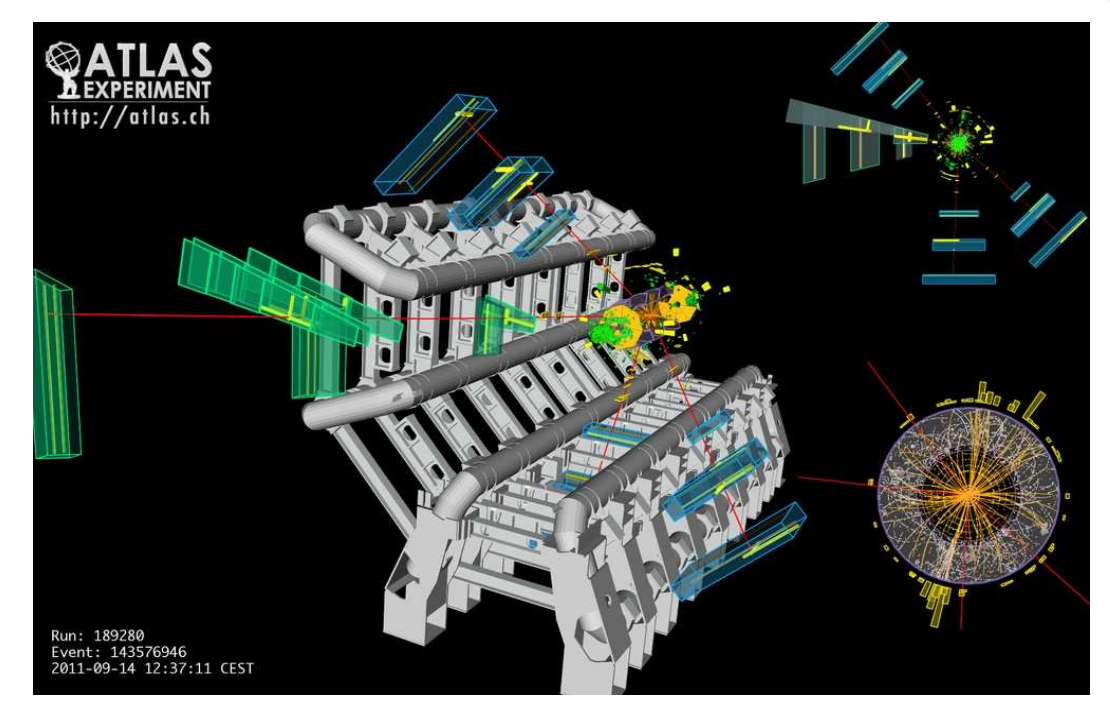




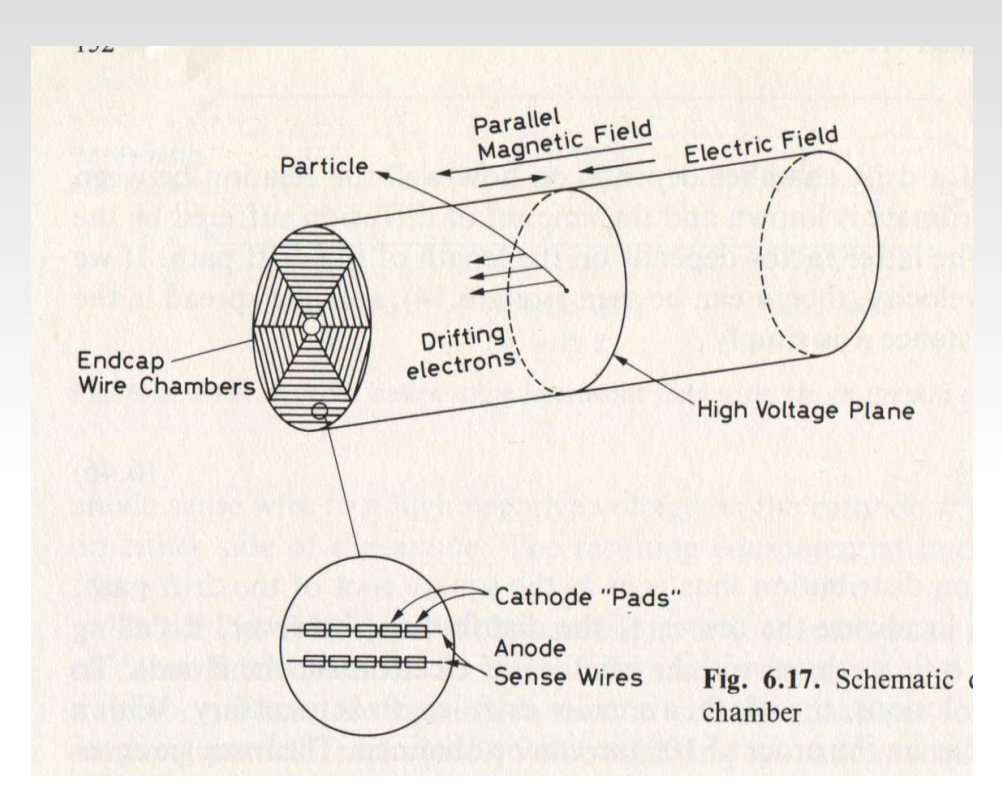
### Fig 4.19 ATLAS MTDs

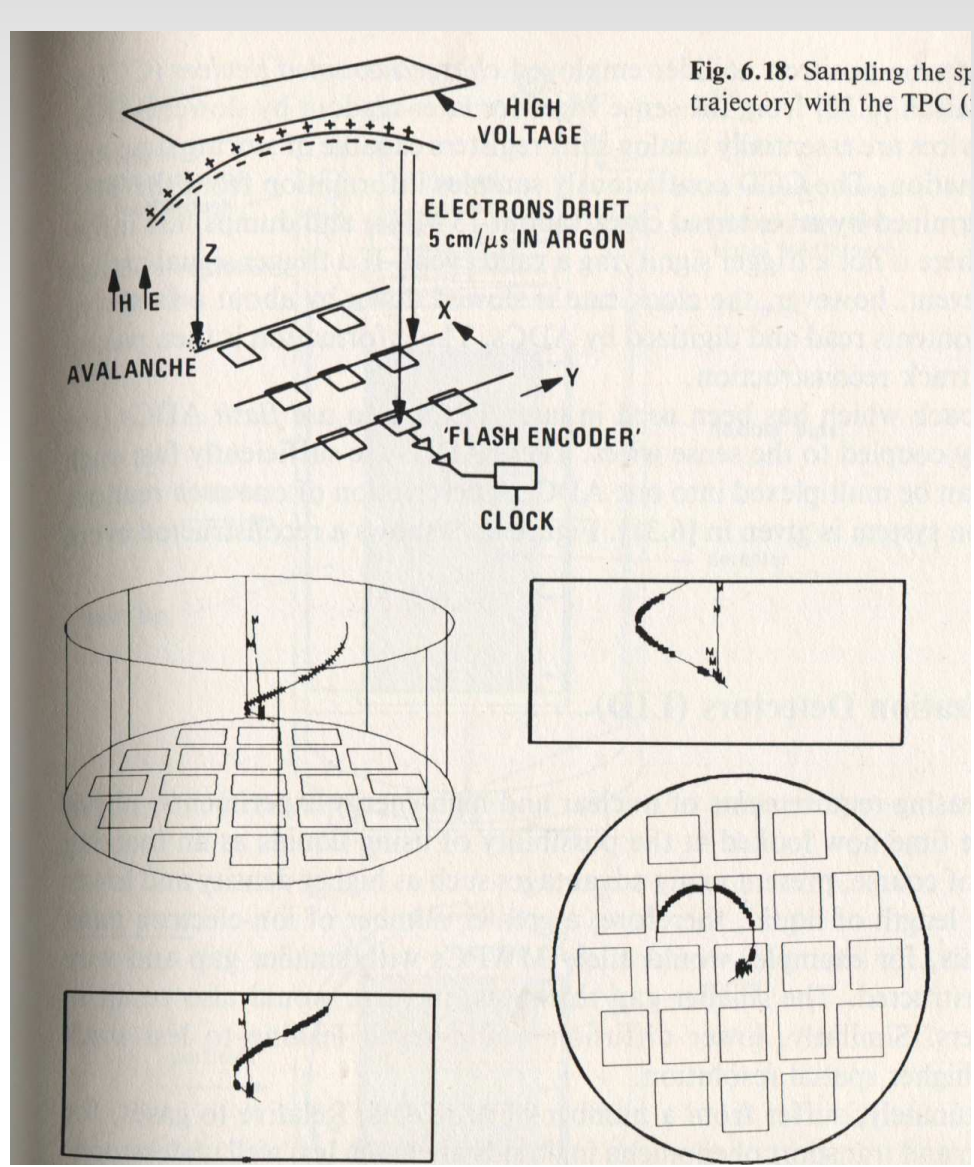






# Fig 4.20 Time Projection Chamber (TPC)





### Fig 4.21 TPC-Gate (ALEPH)

